

# V-149 鋼筋コンクリート梁のせん断力の分担性状について

日本大学 工学部 正員 原 忠勝  
" 理工学部 正員 北田 勇輔

## 1. 目的

鋼筋コンクリート梁のせん断破壊が斜めひびわれの発生による特徴づけられる事は周知の如くである。このうち、引張耐力が最小値をもとと云われる  $a/d = 2.5$  附近<sup>1)</sup> における、せん断圧縮、せん断引張、及び斜め引張等の破壊が見受けられる。これら、せん断破壊を生ずる梁のひびわれ発生及び進展状況を観察すると<sup>2), 3)</sup> 最初せん断スパンの発生するひびわれは部材軸に平行直角のもので、その後、載荷点方面へ傾斜したひびわれ(即ちせん断ひびわれと呼ぶ)となる。破壊時にこれらのひびわれが全て破壊ひびわれとなるのではないか、鉄筋の種類及び鉄筋量によらず、新しく斜め引張型のひびわれが発生し、これが破壊ひびわれとなる場合も見受けられる。

これより本実験に於ける、破壊ひびわれ発生の原因<sup>2), 3)</sup> などと思われる想いひびわれを、著者らが行つた実験結果<sup>2), 3)</sup> に基づき、人工的に作成し、主鉄筋及び圧縮側コンクリートに伝達されるせん断力の測定を行つた。本報ではこの想いせん断ひびわれが形成された後の分担せん断力をついて、これまでの測定方法と比較し、分担せん断力の評価方法についての一資料を得ようとするものである。

## 2. 実験概要

本実験で用いた試験体は、 $a/d = 2.5$  のせん断補強筋のない単鉄筋長方形梁である。図-1 に示すように、断面  $b \times h = 10^{\text{cm}} \times 25^{\text{cm}}$ 、有効高さ  $d = 20^{\text{cm}}$  のもので、部材の中央部附近に谷形の人工ひびわれを有するものである。鉄筋は、普通丸鋼(SRBO)と異形(SD80)を用い、鉄筋量を  $P_r = As/bd \approx 1, 2, 12 \sim 3\%$  とした。

載荷方法は(i)主鉄筋のせん断伝達様式を求めるために、谷形部コンクリートに直角荷重をかけた(DO, DM シリーズ)、(ii)主鉄筋及び圧縮側コンクリートの分担せん断力を測定するため、梁上端に荷重をかけた(N シリーズ)とした。

これより試験体は工記の各条件を組合せた、計18体を作成し、主鉄筋及び圧縮側コンクリートに伝達されるせん断力の測定方法は次の通りである。

主鉄筋に伝達されるせん断力： a) ロゼットゲージによる  $S_{d1}$ ， b) 小さな断面に於ける曲率変化  $S_{d2}$   
c) アーチの割合  $S_{d3}$ ， d) ダイヤルせん断力と他の関係より  $S_{d4}$

圧縮側コンクリートのせん断力：

- a) ロゼットゲージによる  $S_{c1}$
- b) 平行ゲージによる Taylor の方法  $S_{c2}$

## 3. 結論

主鉄筋に伝達されるせん断力 — DO, DM シリーズの試験体に於ける、水平ひびわれが発生した時のせん断力  $S_{du}$  を表-1 に示した。表には示すように、 $S_{du}$  は鉄筋の種類によらず異なり、異形鉄筋を用いた場合は、丸鋼の比べて若干小さな値を示した。既往のダイヤル強度の算定式による計算値と実験値の比較を行つた結果、T. Baumann<sup>4)</sup> の

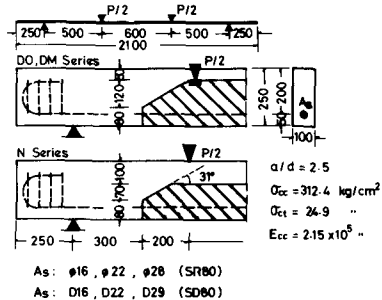


図-1 試験体の概要

表-1 ダイヤルせん断強度の結果

	$S_{du}$ (ton)		$S_{du}$ (ton)
SR80-DM-1	1.085	SR80-DD-1	1.018
	2 0.705		2 0.865
	3 1.033		3 0.948
SD80-DM-1	1.070	SD80-DD-1	0.760
	2 0.825		2 0.828
	3 1.000		3 0.840

場合、1.08(exp./cal.)、J. Houda<sup>5)</sup>が1.00と、他の算定値に比べて良い結果が得られた。これは、角田の報告<sup>6)</sup>によると、 $b/c$ が小さいために、 $\Gamma = 7.11 - 1$ の引張強度と部材断面の総面積を整数とした際の算定式良い適合を示したものと思われる。

分担せん断力の性状——N系列一天の柱下主鉄筋及び圧縮側コンクリートに伝達されるせん断力の測定結果の一例を図-2(a)及び(b)に示した。各伝達せん断力は測定方法による異なり、主鉄筋の場合、せん断ひずみ及び曲率変化を求める場合が小さく、次いで、アーチのつくり合ひ、ダウエル変位を求める場合と大きく分ける結果が得られた。

圧縮側コンクリートのせん断力は、ロゼットによる場合が60~70%、平行ゲージによる場合が20~30%の分担性状を示した。このような傾向は既往の報告<sup>7)</sup>に於ける測定方法の違いが分担せん断力の評価方法に影響を及ぼしているものと考えられる。

これより分担せん断力について理論的見方<sup>8)</sup>では、僅かに神山の例<sup>7)</sup>があるにすぎない。こゝでは、これを指揮として考察すれば、主鉄筋の応力変化がアーチの下枝と上枝の計算値と一緒にとなり、D. Watsteinの方法<sup>8)</sup>を用いると分担せん断力は約20%で、また、圧縮側コンクリートのせん断力はロゼットによる場合、神山の算定値とは同様の傾向を示すと言えり、主鉄筋の分担は20~30%程度と考えられる。

これまで述べたが如くが発生した際の分担せん断力については、骨格のかみ合いによる分担について検討する必要があるようと思われるが、せん断変形のつくり合ひを用いた神山の方法<sup>7)</sup>によるとも比較的の良い推定ができるものと思われる。

拙かりに、本研究は昭和54年度省田研究費助成金を受けて実験を行ったことを明記し、ご指導を賜りました七ヶ月前よりす。

## 参考文献

- 1) G.N.J. Kani, ACI Journal, Vol. 61, No. 4, April, 1964
- 2) 原, 北川, 工学会第31回年譲, S.51年10月, 第1部内
- 3) 原, 北川, " 第32回 ", S.52年10月, 第1部内
- 4) T. Baumann et al., Deutscher Ausschuss für Stahlbeton, Heft. 210, 1970
- 5) J. Houda, Structural Concrete Series, No. 73-2, McGill Univ., Dec., 1973.
- 6) 角田S, 日本土木技術年報, XXXII, 1978
- 7) 神山一, コンクリート工学, Vol. 6, No. 8, Aug., 1968
- 8) D. Watstein et al., ACI Jour., Vol. 55, No. 4, Dec., 1958

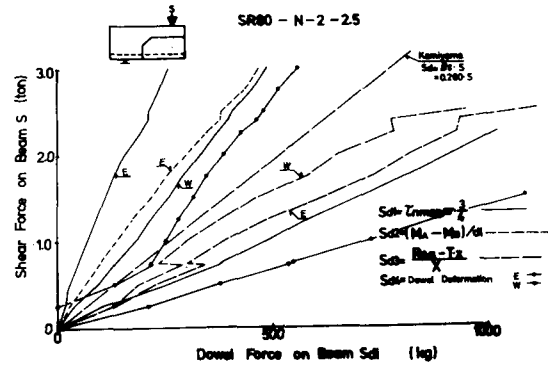


図-2(a) 主鉄筋に伝達されるせん断力(丸鋼)

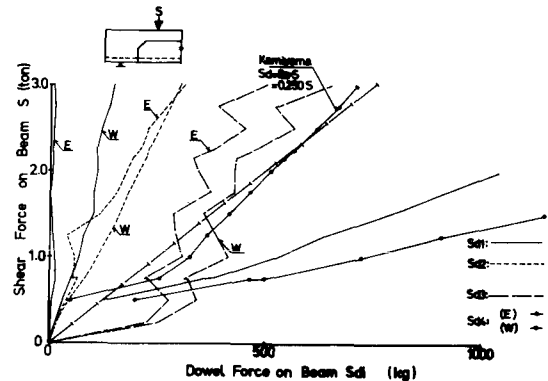


図-2(b) 主鉄筋に伝達されるせん断力(墨形)

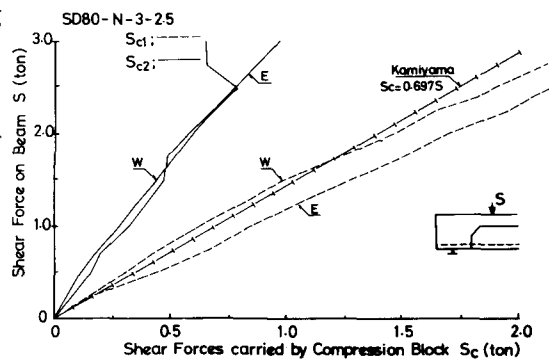


図-3 圧縮側コンクリートのせん断力